



## ЛИТЕРАТУРА

1. Гордеева Т.А., Жегина И.П. Анализ изломов при оценке надежности материалов. М.: Машиностроение. 1975. 200 с.
2. Колачев Б.А. Водородная хрупкость металлов. М.: Металлургия. 1979. 199 с.
3. Малинина Н.А. Мезомеханика многоуровневой системы структурных напряжений // Вестник НГУ. 2004. № 26. С. 7–12.
4. Панин В.Е., Егорушкин В.Е., Панин А.В., Моисеенко Д.Д. Природа локализации пластической деформации твердых тел // Журнал технической физики. 2007. Т. 77. № 8. С. 62–69.
5. Алехин В.П. Физика прочности и пластичности поверхностных слоев материалов. М.: Наука. 1983. 280 с.

B.B. МУРАШОВ

### ОПРЕДЕЛЕНИЕ ФИЗИКО-МЕХАНИЧЕСКИХ ХАРАКТЕРИСТИК И СОСТАВА ПОЛИМЕРНЫХ КОМПОЗИЦИОННЫХ МАТЕРИАЛОВ АКУСТИЧЕСКИМИ МЕТОДАМИ

Повышение надежности изделий авиационной техники наиболее актуальная задача современного авиастроения. Поскольку надежность деталей и агрегатов изделия зависит не только от свойств материалов, но и от наличия в них скрытых структурных неоднородностей, приводящих к отклонениям физико-механических характеристик материала от номинальных значений, то вопрос их контроля приобрел значительную актуальность.

Для оценки физико-механических свойств полимерных композиционных материалов (ПКМ) применяются методы диагностики, которые используют принципы акустических, тепловых, электрических и других методов дефектоскопии, но в ином качестве. Основными из них (по числу решаемых задач) являются ультразвуковые (УЗ) методы, которые не требуют громоздкой аппаратуры для их реализации и могут применяться не только в лабораторных условиях, но и в цехах и даже в полевых условиях [1, 2].

Методы технической диагностики являются косвенными и основаны на установлении корреляционных связей между параметрами диагностики (акустическими характеристиками материала) и физико-механическими характеристиками ПКМ путем сопоставления результатов не-разрушающих и разрушающих испытаний [3].

Вопросами оценки физико-механических характеристик неметаллических конструкционных материалов (в основном стеклопластиков) занимаются уже несколько десятков лет [4], однако широкого внедрения этих методов не наблюдается. Такое же положение в этой области и за рубежом. Связано это с невысокой точностью оценки физико-механических характеристик акустическими методами и нестабильностью получаемых результатов [5].

В ВИАМ создано новое научное направление по диагностике физико-механических свойств и состава ПКМ [6, 7], позволяющее определять упругие и прочностные свойства, пористость, плотность, содержание матрицы и наполнителя, степень отверждения матрицы углепластиков в конструк-



циях планера самолета и других изделиях ответственного назначения лазерно-акустическим способом ультразвукового контроля путем использования корреляционных уравнений, параметрами которых являются амплитудные, временные и спектральные характеристики принятых акустических сигналов, определяемые непосредственно в конструкции без ее разрушения. Исследована информативность принимаемых акустических сигналов, прошедших через материал, предложены способы их комплексирования, обеспечивающие повышение точности определения физико-механических свойств материала. Показано, что для повышения информативности параметров диагностики целесообразно использовать методику широкополосной акустической спектроскопии с целью получения частотных зависимостей коэффициента затухания и скорости ультразвуковых волн, а также трансформации этих зависимостей при изменениях состава материала.

Использование лазерного возбуждения импульсов упругих колебаний длительностью не более 0,05 мкс дает возможность проводить спектральный анализ принятых акустических сигналов в широкой полосе частот – от 0,1 до 10 МГц, что позволяет повысить точность и достоверность диагностики свойств и состава ПКМ неразрушающим методом. Установлено, что основными критериями выбора одиночного или комплексного параметра диагностики при оценке физико-механических характеристик и состава ПКМ являются коэффициент корреляции (или корреляционного отношения) и критерий надежности этого коэффициента.

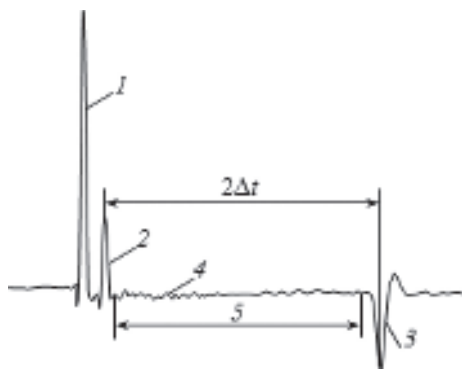
Собственно, и акустические, и физико-механические характеристики материала определяются структурой и составом материала, поэтому между ними существует корреляционная связь, которая при использовании традиционных параметров диагностики (скорости прохождения и затухания УЗК) не всегда достаточна для практического применения. Поэтому в ВИАМ проводились исследования и разработки в направлении изыскания принципиально новых информативных параметров диагностики свойств ПКМ (притом таких, которые могут быть определены с высокой точностью и достоверностью непосредственно в детали или конструкции из ПКМ без их разрушения), а также в направлении решения задачи комплексирования параметров диагностики с целью установления более тесных корреляционных связей комплексных параметров диагностики с определяемыми характеристиками ПКМ [8, 9].

Для определения плотности, пористости и состава углепластика выбран лазерно-акустический способ ультразвукового метода отражения [10, 11]. Этот метод неразрушающего контроля основан на возбуждении импульсов упругих колебаний в объекте контроля с помощью луча лазера, приеме импульсов, прошедших контролируемый объект и отраженных от поверхности раздела двух сред, отличающихся характеристическими импедансами (от границ объекта контроля или неоднородностей), приеме отраженных импульсов и анализе параметров принятых сигналов.

Для получения мощных широкополосных ультразвуковых импульсов применено лазерное термооптическое возбуждение звука – оптико-акустический эффект [12]. Амплитуда и временная форма (и, соответственно, частотный спектр) термооптически возбуждаемого ультразвукового импульса определяется временной зависимостью интенсивности поглощенного лазерного импульса и теплофизическими параметрами поглощающей среды (коэффициентом поглощения света, коэффициентом теплового расширения, теплопроводностью, температуропроводностью), при этом

амплитуда термооптически возбуждаемых ультразвуковых импульсов может достигать сотен мегапаскалей в спектральном диапазоне 0,1–20 МГц.

На рис. 1 показана развертка типа А – временной трек сигналов, прошедших по толщине объекта контроля (ОК) в прямом и обратном направлениях. Здесь  $2\Delta t = t_1 - t_0$ , где  $t_1$  – время индикации первого донного импульса;  $t_0$  – время индикации импульса, отраженного от поверхности ОК.



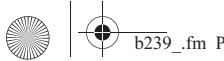
**Рис. 1.** Временной трек сигналов (импульсов) при их прохождении по материалу детали или конструкции:

1 – сигнал оптико-акустического генератора (имеет амплитуду  $A$ ); 2 – сигнал, отраженный от поверхности объекта контроля (ОК) (имеет амплитуду  $A_0$ ); 3 – донный импульс – сигнал, отраженный от противоположной стороны ОК (имеет амплитуду  $A_1$ );  $2\Delta t$  (мкс) – время прохождения сигнала по толщине материала в прямом и обратном направлениях; 4 – структурный шум, возникающий при отражении от неоднородностей структуры материала и преимущественно от пор; 5 – рабочий участок временного трека, на котором определяют нормированную энергию  $W_n$  структурного шума

Сигнал оптико-акустического генератора частично отражается от верхней поверхности объекта контроля (ОК), а частично входит в ОК и распространяется в нем в виде продольной волны. Ультразвуковой сигнал, распространяющийся вглубь ОК, доходит до противоположной стороны ОК, отражается и регистрируется приемным преобразователем. Кроме того, при распространении в материале ОК сигнал претерпевает рассеяние на неоднородностях структуры. Часть этого сигнала, рассеянная в обратном направлении, попадает на приемник и тоже регистрируется с некоторой временной задержкой относительно поступления эталонного сигнала. Время поступления рассеянной волны соответствует определенной глубине залегания структурных неоднородностей в ОК (преимущественно пор). Частотный спектр акустических импульсов (спектральный диапазон 1–10 МГц), рассеянных назад всей толщиной контролируемой конструкции, несет информацию о неоднородностях структуры в целом, что позволяет проводить контроль готовых деталей и конструкций из углепластиков с целью диагностирования их свойств при одностороннем доступе.

Спектр акустического сигнала, рассеянного на неоднородностях структуры, состоит из регулярной (гладкой) и нерегулярной (шумовой) компонент. Гладкая часть определяется спектральной чувствительностью пьезоприемника в акустическом преобразователе и может быть определена слаживанием реального спектра сигнала. Нерегулярная часть (так же, как и во временной форме акустического сигнала) определяется рассеянием на неоднородностях структуры композита (в первую очередь, порах), и ее полная энергия может служить характеристикой пористости среды.

В ВИАМ разработана методика определения пористости ПКМ лазерно-акустическим способом ультразвукового контроля [13–15]. В качестве



параметра диагностики пористости материала использована полная нормированная энергия шумовой компоненты:

$$W_{\text{н}} = \frac{\int_{f_{\min}}^{f_{\max}} [S(f) - S_0(f)]^2 df}{\int_{f_{\min}}^{f_{\max}} S_0^2(f) df}, \quad (1)$$

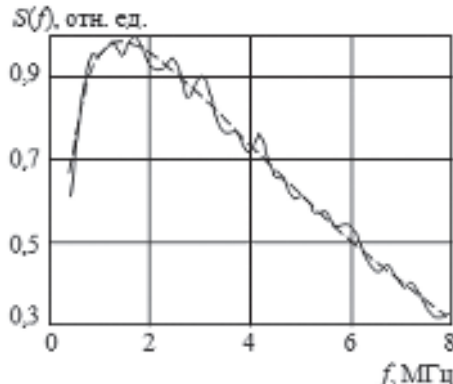
где  $S(f)$  – спектр импульсов, рассеянных структурой в обратном направлении;  $S_0(f)$  – спектр зондирующего импульса;  $f$  – частота ультразвуковых колебаний;  $f_{\min}$  и  $f_{\max}$  – граничные частоты спектрального диапазона.

На рис. 2 приведен спектр акустического сигнала в образце с большим содержанием пор. Видно, что реальный спектр сигнала отличается характерными осцилляциями, определяемыми структурными шумами, связанными с наличием пор. Гладкая кривая получена путем аппроксимации экспериментального спектра.

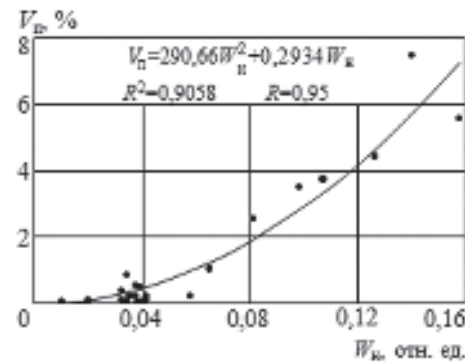
Нормированная энергия шумовой компоненты рассеянного назад акустического сигнала наилучшим образом коррелирует с пористостью материала, и именно поэтому данная характеристика была выбрана в качестве параметра диагностики. Пористость углепластика определяется по ранее установленной корреляционной связи объемного содержания пор  $V_{\text{п}}$  с нормированной величиной энергии  $W_{\text{н}}$  структурного шума:

$$V_{\text{п}} = \phi(W). \quad (2)$$

На рис. 3 показана зависимость энергии шумовой компоненты акустического сигнала, рассеянного в обратном направлении, от объемной



**Рис. 2.** Амплитудный спектр акустического сигнала ( $S(f)$  – спектр импульсов, рассеянных структурой в обратном направлении;  $f$  – частота УЗ колебаний) на участке 4 (см. рис. 1) в пористом образце из углепластика:  
— реальный спектр; --- слаженная кривая



**Рис. 3.** Связь объемного содержания пор  $V_{\text{п}}$  в углепластике ВКУ-17КЭ0,1 с энергией структурного шума  $W_{\text{н}}$



пористости материала. Между пористостью материала и энергией шумовой компоненты существует довольно тесная корреляционная связь (коэффициент корреляции  $R = 0,95$ ), что и позволяет использовать энергию шумовой компоненты в качестве параметра диагностики, определяемого при неразрушающих испытаниях деталей и конструкций из углепластиков. Связь объемной пористости материала с энергией структурного шума определяется выражением  $V_n = 290,66 W_n^2 + 0,2934 W_n$ .

Энергия структурного шума в дефектной области углепластика может на порядок превосходить энергию в бездефектной области. Поэтому производить корректную диагностику пористости в дефектных участках углепластика не представляется возможным. Следовательно, диагностику углепластика можно проводить только на тех деталях и конструкциях, которые успешно прошли дефектоскопический контроль, т.е. не имеют дефектов.

Таким образом, получена взаимосвязь пористости с энергией структурного шума в углепластиках с различным содержанием матрицы, что позволяет по измеренным значениям энергии структурного шума определять пористость и, что особенно важно, низкие ее значения (до десятых долей процента).

Энергия структурного шума  $W_n$  определяется для предварительной оценки пористости материала. Если пористость находится в интервале 0–1%, то можно переходить к определению содержания армирующего волокна в углепластике и плотности углепластика в соответствии с установленными корреляционными связями. При пористости материала >1% возрастает погрешность определения объемного содержания армирующего волокна в углепластике и плотности углепластика, так как возрастающее количество пор в материале все больше и больше влияет на результаты определения параметра диагностики. При пористости материала >2% определение содержания волокна и плотности углепластика по предложенной методике становится некорректным.

Содержание волокна в углепластике определяется по установленной корреляционной связи массового содержания волокна с основным параметром диагностики:

$$M_B = \varphi_1(c), \quad (3)$$

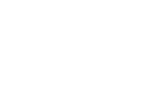
а плотность углепластика ( $\rho$ ) определяется при пористости материала не более 1% по установленной корреляционной связи плотности материала с тем же параметром диагностики:

$$\rho = \varphi_2(c). \quad (4)$$

Основной параметр диагностики – скорость прохождения УЗ колебаний ( $c$ ) – в углепластике определяется программным способом по времени  $\Delta t$  прохождения сигнала и толщине  $h$  стенки ОК:

$$c = 2h/\Delta t. \quad (5)$$

Толщина  $h$  стенки конструкции из углепластика в зоне контроля определяется измерительными инструментами, ультразвуковыми толщиномерами или по чертежу данной конструкции.



Рассмотрим пример изменения основного параметра диагностики – скорости импульсов УЗ колебаний ( $c$ ) – при изменении содержания наполнителя в углепластике при постоянной пористости материала. При увеличении содержания наполнителя скорость импульсов будет возрастать, так как ультразвуковой сигнал большую часть пути будет проходить через материал, в котором скорость распространения ультразвука выше. При малой пористости материала (до 1% по объему) увеличение содержания наполнителя приведет к увеличению плотности материала и, соответственно, к увеличению скорости импульсов УЗ колебаний ( $c$ ).

На рис. 4, *a* представлена корреляционная связь скорости УЗ колебаний ( $c$ ) с массовым содержанием углеродного волокна в углепластике, построенная для образцов с низкой пористостью материала, а на рис. 4, *б* – корреляционная связь скорости УЗ колебаний ( $c$ ) с плотностью углепластика.

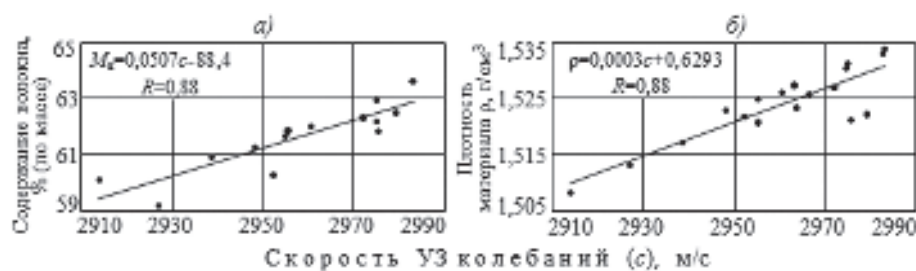


Рис. 4. Корреляционная связь скорости УЗ колебаний ( $c$ ) с массовым содержанием углеродного волокна  $M_B$  (а) и плотностью  $\rho$  (б) углепластика ВКУ-17КЭ0,1

Получены следующие уравнения регрессии и коэффициенты корреляции для образцов с низкой пористостью  $V_p = 0\text{--}1\%$ :

– для корреляционной связи скорости УЗ колебаний ( $c$ ) с массовым содержанием волокна  $M_B$ :

$$M_B = 0,0507c - 88,4, \quad (6)$$

коэффициент корреляции  $R = 0,88$ ;

– для корреляционной связи скорости УЗ колебаний ( $c$ ) с плотностью материала

$$\rho = 0,0003c + 0,6293, \quad (7)$$

коэффициент корреляции  $R = 0,88$ .

Относительная погрешность определения неразрушающим методом:

– пористости углепластика – не более  $\pm 10\%$  (например, погрешность в абсолютных величинах для пористости 1% не превышает  $\pm 0,1\%$ , т.е. результат определения пористости находится в интервале 0,9–1,1%);

– плотности углепластика – не более  $\pm 1\%$  (например, погрешность в абсолютных величинах для плотности  $1500 \text{ кг}/\text{м}^3$  не превышает  $\pm 15 \text{ кг}/\text{м}^3$ , т.е. результат определения плотности находится в интервале 1485–1515  $\text{кг}/\text{м}^3$ );

– содержания волокна в углепластике по массе – не более  $\pm 4\%$  (например, погрешность в абсолютных величинах при массовом содер-



жании волокон 60% составляет не более  $\pm 2,4\%$ , т.е. результат определения объемного содержания волокна находится в интервале 57,6–62,4%).

При внедрении углепластиков в крупногабаритные интегральные конструкции возникла необходимость предварительной подпрессовки деталей с использованием нагрева материала, при этом происходит некоторая полимеризация связующего. Превышение степени отверждения подпрессованных заготовок допустимой величины приводит к снижению прочности соединения элементов интегральной конструкции.

Для оценки степени полимеризации матрицы углепластика [16, 17] определяется основной параметр диагностики – объединенный параметр  $b_1$ , равный произведению ослабления сигнала  $A_0/A_1$  и времени  $\Delta t$  его прохождения через контролируемый материал в направлении его толщины:

$$b_1 = (A_0/A_1)\Delta t, \quad (8)$$

где  $A_0$  – амплитуда импульса, отраженного от верхней поверхности ОК, мВ;  $A_1$  – амплитуда первого донного импульса, т.е. амплитуда сигнала, отраженного от противоположной поверхности стенки ОК, мВ;  $\Delta t$  – время прохождения сигнала по толщине ОК, мкс:

$$t = (t_1 - t_0)/2, \quad (9)$$

где  $t_1$  – время индикации первого донного импульса, мкс;  $t_0$  – время индикации импульса, отраженного от верхней поверхности ОК, мкс.

Параметр диагностики  $b_1$  вычисляется программным способом по результатам определения первичных параметров диагностики ( $A_0/A_1$ ,  $\Delta t$ ) в процессе неразрушающих испытаний.

Эксперименты подтверждают правильность выбора такого параметра. Так, при увеличении степени отверждения материала оба сомножителя уменьшаются, а при уменьшении – увеличиваются, т.е. изменяются в одну сторону, а их произведение усиливает эти изменения.

Степень полимеризации  $\beta$  матрицы в ОК из углепластика ВКУ-17КЭ0,1 определяется по графику, построенному по установленной корреляционной связи основного параметра  $b_1$  со степенью полимеризации  $\beta$  матрицы при пористости материала  $V_p \leq 1\%$ , или по уравнению этой связи:

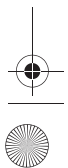
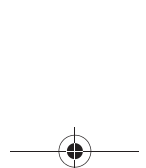
$$\beta = \phi(b_1). \quad (10)$$

Фактором, ограничивающим возможности способа контроля при определении степени полимеризации  $\beta$  матрицы по вышеупомянутому параметру, является пористость, которая влияет на зависимость  $b_1 = \phi(\beta)$ . Для учета пористости материала необходимо определять величину нормированной энергии  $W_n$  структурного шума.

Корреляционную связь степени конверсии реакционноспособных групп в матрице ПКМ можно записать в виде:

$$\beta = \phi(b_1, W_n). \quad (11)$$

На рис. 5 представлена корреляционная связь параметра диагностики  $b_1$  со степенью полимеризации матрицы углепластика ВКУ-17КЭ0,1,



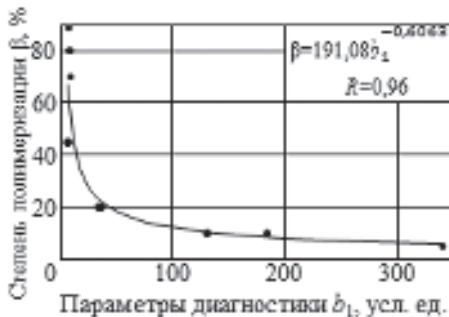


Рис. 5. Корреляционная связь параметра диагностики ( $b_1$ ) со степенью полимеризации ( $\beta$ ) матрицы углепластика

материала – скорость и затухание УЗ колебаний, называемые параметрами диагностики, так как эти параметры могут быть определены в процессе неразрушающих испытаний конструкции. Механические характеристики углепластика определяются по установленной корреляционной (статистической) связи их с параметрами диагностики.

Прочностные свойства углепластика в конструкции определяются по установленной корреляционной связи объединенного параметра  $b_2$  диагностики с прочностью материала при межслоевом сдвиге

$$\tau_{\text{сдв}} = \varphi_1(b_2) \quad (13)$$

и при сжатии

$$\sigma_{\text{сж}} = \varphi_2(b_2), \quad (14)$$

где  $b_2$  – объединенный параметр диагностики, равный отношению коэффициента  $k$  ко времени  $\Delta t$  его прохождения в направлении толщины стенки конструкции.

Коэффициент  $k$  определяется программным способом по амплитудным характеристикам сигналов и является величиной, обратной затуханию сигнала в материале при его прохождении по толщине ОК. Программа определяет коэффициент  $k$  как

$$k = A_1/A, \quad (15)$$

где  $A_1$  – амплитуда донного сигнала, т.е. амплитуда сигнала, отраженного от противоположной поверхности стенки ОК;  $A$  – амплитуда сигнала, вошедшего в объект контроля ОК.

Объединенный параметр  $b_2$  диагностики рассчитывается программным способом по первичным параметрам диагностики:

$$b_2 = k/\Delta t = A_1/(A\Delta t), \quad (16)$$

где  $\Delta t$  – время прохождения сигнала по толщине стенки конструкции.



В данной работе используется лазерное возбуждение упругих колебаний в объекте контроля, что позволяет получить очень короткий импульс (длительность импульса не более 0,05 мкс), что дает существенные преимущества при спектральном анализе, так как в объекте контроля формируется акустический сигнал с очень широким спектром (в диапазоне 0,1–10,0 МГц).

Рассмотрим пример изменения объединенного параметра  $b$  диагностики при изменении прочностных характеристик углепластика при постоянной и минимальной пористости материала. При увеличении прочности материала величина  $A_1/A$  будет возрастать, а время  $\Delta t$  прохождения сигнала по толщине стенки конструкции будет уменьшаться. В результате объединенный параметр диагностики будет увеличиваться. При уменьшении прочности материала величина  $A_1/A$  будет уменьшаться, а время  $\Delta t$  прохождения сигнала по толщине стенки конструкции будет возрастать. В результате объединенный параметр диагностики будет уменьшаться.

В процессе выполнения работы установлены корреляционные связи основного параметра диагностики с прочностью при сдвиге и сжатии углепластика. Проведена компьютерная обработка экспериментальных данных с целью установления степени взаимозависимости корреляционных связей параметра диагностики с прочностью при сдвиге и сжатии углепластика, и построены графики связи объединенного параметра  $b_2$ , определенного с помощью прибора УДЛ-2М, с прочностью при сдвиге и сжатии углепластика, определенных разрушающим методом (пористость материала <1%).

На рис. 6, а представлена корреляционная связь параметра диагностики  $b_2$  с прочностью при сдвиге углепластика, построенная для образцов с низкой пористостью материала (<1%), а на рис. 6, б представлена корреляционная связь параметра диагностики  $b_2$  с прочностью при сжатии углепластика, также построенная для образцов с низкой пористостью материала.

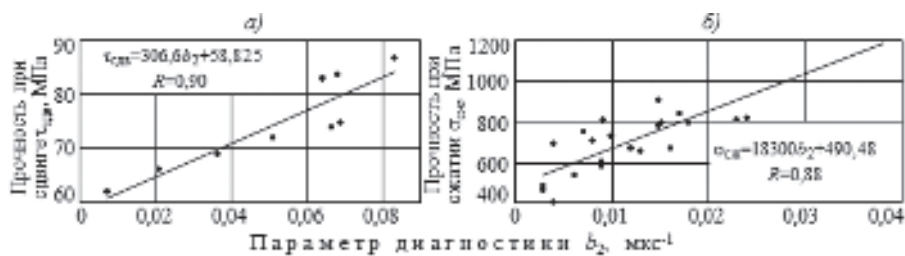


Рис. 6. Корреляционная связь объединенного параметра диагностики ( $b_2$ ) с прочностью при сдвиге  $\tau_{\text{сдв}}$  (а) и сжатии  $\sigma_{\text{сж}}$  (б) углепластика ВКУ-17КЭ0,1

Получены следующие уравнения регрессии и коэффициенты корреляции для образцов с низкой пористостью ( $V_p$  – от 0 до 1%):

– для корреляционной связи параметра диагностики  $b_2$  с прочностью при сдвиге углепластика:

$$\tau_{\text{сдв}} = 306,6b_2 + 58,825, \quad (17)$$

коэффициент корреляции  $R = 0,90$ ;



– для корреляционной связи параметра диагностики  $b_2$  с прочностью при сжатии углепластика:

$$\sigma_{\text{сж}} = 18300b_2 + 490,48, \quad (18)$$

коэффициент корреляции  $R = 0,88$ .

Погрешность метода при определении прочности углепластика при сдвиге и сжатии не превышает  $\pm 8\%$ .

Таким образом, в диагностике ПКМ реализован новый подход к решению задач, основанный на лазерном возбуждении ультразвука в контролируемой конструкции и спектральном анализе импульсов ультразвуковых колебаний, прошедших в объекте испытаний и несущих информацию о структуре и физико-механических свойствах ПКМ. Использование лазерного возбуждения упругих колебаний дает возможность получать очень короткие импульсы с широким спектром и проводить анализ затухания ультразвука в достаточно широкой полосе частот, что позволяет повысить точность и достоверность диагностики структуры и свойств ПКМ неразрушающим методом.

В результате проведенных в ВИАМ исследований разработаны технологии контроля и выпущены методические материалы, технологические рекомендации и производственные инструкции по определению пористости, плотности, содержания волокна и матрицы в углепластиках, прочности при межслоевом сдвиге и сжатии односторонних углепластиков, степени полимеризации матрицы на различных этапах изготовления интегральных конструкций.

## ЛИТЕРАТУРА

1. Неразрушающий контроль: Справочник в 7 т. / Под общ. ред. В.В. Клюева. Т. 3. Ультразвуковой контроль / И.Н. Ермолов, Ю.В. Ланге. 2-е изд., испр. М.: Машиностроение. 2006. 864 с.
2. Nondestructive Testing Handbook. 2-nd ed. V. 7. Ultrasonic Testing. American Society for Nondestructive Testing. 1991. 893 p.
3. Latishenko V.A., Matiss J.G., Sandalov A.V. Diagnostics of load carrying capacity of composite structures / 10<sup>th</sup> World Conference on Non-Destructive Testing. – Moscow. 1982. Rep. 5–3.
4. Гершберг М.В., Илюшин С.В., Смирнов В.И. Неразрушающие методы контроля судостроительных стеклопластиков. Л.: Судостроение. 1971. С. 124, 179.
5. Мурашов В.В., Румянцев А.Ф. Дефекты монолитных деталей и многослойных конструкций из полимерных композиционных материалов и методы их выявления. Часть 2. Методы выявления дефектов монолитных деталей и многослойных конструкций из полимерных композиционных материалов // Контроль. Диагностика. 2007. № 5. С. 31–36, 41–42.
6. Мурашов В.В., Румянцев А.Ф. Диагностика полимерных композиционных материалов акустическими методами / В сб.: Авиационные материалы. Избранные труды. М.: ВИАМ. 2007. С. 342–347.
7. Kablov E., Murashov V., Rumyantsev A. Diagnostics of polymer composites by acoustic methods // Ultrasound. 2006. № 2 (59). P. 7–10.
8. Способ определения физико-механических характеристик и состава полимерных композиционных материалов в конструкциях ультразвуковым методом: Пат. 2196982 Рос. Федерация. Опубл. 20.01.2003. Бюл. № 2.



9. Способ определения физико-механических характеристик полимерных композиционных материалов и устройство для его осуществления: Пат. 2214590 Рос. Федерации. Опубл. 20.10.2003. Бюл. № 29.

10. Карабутов А.А., Пеливанов И.М., Подымова Н.Б., Резников А.В. Применение ND:YAG-лазера с диодной накачкой в неразрушающем ультразвуковом контроле графито-эпоксидных композитов // Контроль. Диагностика. 2002. № 11. С. 24–29.

11. Карабутов А.А., Мурашов В.В., Подымова Н.Б. Диагностика слоистых композитов с помощью лазерного оптико-акустического преобразователя // Механика композитных материалов. 1999. Т. 35. № 1. С. 125–134.

12. Karabutov A.A., Murashov V.V., Oraevsky A.A., Podymova N.B. Nondestructive characterization of layered composite materials with a laser optoacoustic sensor / Conf.: Nondestructive Evaluation of Materials and Composites II. San Antonio1998 // The International Society for Optical Engineering. 1998. V. 3396. P. 103–111.

13. Мурашов В.В., Румянцев А.Ф., Иванова Г.А., Файзрахманов Н.Г. Диагностика структуры, состава и свойств полимерных композиционных материалов // Авиационные материалы и технологии. 2008. № 1. С. 17–24.

14. Мурашов В.В., Румянцев А.Ф. Определение пористости углепластиков лазерно-акустическим способом в авиационных конструкциях / В сб. докл. НТК: Гидроавиасалон-2008. М.: ЦАГИ. 2008. Ч. I. С. 287–291.

15. Мурашов В.В., Румянцев А.Ф. Диагностика состава и свойств полимерных композитов в деталях и конструкциях // Контроль. Диагностика. 2008. № 8. С. 13–17.

16. Мурашов В.В., Румянцев А.Ф., Алексашин В.М. Определение степени полимеризации матрицы композиционного материала в заготовках и конструкциях ультразвуковым методом / В сб.: Неразрушающий контроль и техническая диагностика при производстве и эксплуатации авиационной и космической техники: Труды первой Всерос. науч.-техн. конф. С-Пб. 2005. Доклад 1.7. (на CD-диске).

17. Способ определения степени полимеризации композиционных материалов: Пат. 2231054 Рос. Федерации. Опубл. 20.06.2004. Бюл. № 17.

